I radome

Antenne II / Antenne in ambiente operativo

Leonardo Lucci

leonardo.lucci@unifi.it

Dipartimento di Elettronica e Telecomunicazioni

Università di Firenze

A.A. 2008/2009

Outline

Funzione

- Il radome (radar dome) è l'involucro che in alcuni casi contiene l'antenna
- ► La funzione principale del radome è quella di proteggere l'antenna da esso racchiusa dagli agenti ambientali esterni (carico del vento, ghiaccio, neve, pioggia, temperatura)
- ▶ Idealmente il radome dovrebbe essere completamente trasparente alla radiofrequenza (RF) e non dovrebbe degradare le performance elettromagnetiche dell'antenna

Tipologia

- ▶ Un guscio in materiale dielettrico
- ► Strati di materiale metallico perforato
- ▶ Può comprendere strutture metalliche o dielettriche di sostegno

Cenni storici

- ▶ Gli aeromobili a bassa velocità impiegati durante la seconda guerra mondiale, consentivano l'impiego di antenne esterne di tipo Yagi-Uda o ad array di dipoli operanti in VHF.
- Nel 1941 negli Stati Uniti e nel Regno Unito sono sperimentati radar a microonde e si ha il primo volo di un aeromobile ad alta velocità che monta un radome in plexiglass per un radar sperimentale in banda S (2-4GHz) della Western Electric

Cenni storici

- ▶ Dal 1943 iniziano a diffondersi radome per aeromobili in legno compensato (ampia diffusione anche a bordo di alcune imbarcazioni della marina statunitense, a bordo dei dirigibili e nelle stazioni di terra): problema dell'umidità e della realizzazione di superfici con doppia curvatura
- ▶ Dal 1944 si iniziano a studiare strutture a sandwich a tre strati (skincore-skin) con rivestimento in fibra di vetro e nucleo in polistirene

Applicazioni

- ► Sistemi terrestri
- ► Sistemi marittimi
- ▶ Sistemi a bordo di aeromobili
- ► Sistemi missilistici

Applicazioni

Radome per comunicazioni satellitari: vista in primo piano e installazione a bordo di una imbarcazione

[D. J. Kozakoff, Analysis of Radome-Enclosed Antennas, Artech House, Boston-London, 1997]

Forme

- ► Forma sferica (grandi antenne delle stazioni terrestri)
- ▶ forma smussata per contenere la resistenza aerodinamica o *drag* (a bordo di velivoli o missili)
- ▶ spesso il radome è montato sul naso del velivolo per minimizzare il *drag*

Forme

Radome al Misawa Security Operations Center, Misawa, Japan

Radome montato sul *cockpit* di un aereo

Forme Esempi di radome a bordo di velivoli Sistema Airborne Early Warning and Control (AEW&C) a bordo di un Boeing E-3 Sentry della Royal Air Force L. Lucci - Università di Firenze I radome

Materiali

Fin dai primi anni gli studi sui materiali impiegati per la realizzazione dei radome hanno riguardato due aree principali:

- radome ceramici impiegati in applicazioni missilistiche (altissima velocità)
- strutture composite a sandwich che utilizzano materiali organici ad elevata resistenza

Chi costruisce radome

- ► L-3 Communications ESSCO (Massachussets, USA / Ireland) http://www.l-3com.com/ESSCO/index.html
- ► AFC (Florida, USA) http://www.afcsat.com/
- Radome srl (Bergamo, Italy) http://www.radome.it/home.html
- Microwave Instrumentation Technologies (Georgia, USA) ex Scientific Atlanta http://www.mi-technologies.com/index.html

Proprietà dei materiali

Proprietà elettriche (dipendenti generalmente dalla frequenza di lavoro)

- costante dielettrica relativa
- ▶ tangente di perdita del dielettrico

Proprietà termo-meccaniche

- flessibilità, durezza e resistenza
- densità del materiale
- caratteristiche di assorbimento dell'acqua
- resistenza all'erosione da pioggia reazione agli shock termici

Tipologia di materiali

Per quanto attiene ai materiali i radome possono essere raggruppati in due grandi famiglie:

- ► Radome con pareti dielettriche organiche : applicazioni a bassa temperatura (aeronautica civile e militare, veicoli terrestri e stazioni di terra) per cui T = 250°C (T = 500°C per brevi intervalli di tempo)
- ► Radome con pareti dielettriche inorganiche (ceramiche): applicazioni ad alta temperatura (aerei o missili supersonici)

Strutture

- ▶ strutture monolitiche (*style-a* e *style-b* [MIL-R-7705B]): si tratta di strutture solide costituite da resine che eventualmente incorporano elementi di rinforzo (fibra di vetro)
- ▶ strutture a sandwich (*style-c* o *A-sandwich*, *style-d* e *style-e* [MIL-R-7705B]): si tratta di strutture che alternano strati di materiale ad alta densità e costante dielettrica a strati di materiale a bassa densità e costante dielettrica





Struttura a sandwich Laminato interno ed esterno

Struttura a sandwich *Nucleo*

Radome inorganici

Effetti del radome







Vincoli e parametri di progetto

Le variabili che determinano i parametri di performance di un radome sono di due tipi:

- Vincoli di progetto: variabili che non costituiscono gradi di libertà per il progettista elettromagnetico, poiché vengono scelti per soddisfare esigenze irrinunciabili (requisiti termo-meccanici del materiale, resistenza aerodinamica o resistenza al vento della forma, dimensioni necessarie per proteggere l'antenna, caratteristiche meccaniche ed EM dell'antenna)
- Variabili di progetto: sono i gradi di libertà che il progettista ha per ottimizzare le performance del radome (in particolare composizione e configurazione delle pareti)

Procedura di progetto

- ▶ Il progetto di un radome inizia con la scelta di una struttura di base che viene ottimizzata mediante un procedimento euristico, di tipo *trial-and-error*, in cui i parametri del radome vengono ottimizzati per successive valutazioni delle performance.
- La caratterizzazione del radome può essere effettuata sia mediante misure, che mediante l'ausilio di tecniche numeriche.
- ▶ In fase di progetto la conoscenza dei contributi di campo all'interno di un radome aiuta ad individuare le regioni che generano significative riflessioni interne e che contribuiscono maggiormente alla degradazione delle performance dell'antenna.

Misura della distribuzione di campo all'interno del radome *Setup di misura*

Misura della distribuzione di campo all'interno del radome *Esempio di misura di side lobe level*

```
f = 16.5 \text{GHz}

\beta = 36^{\circ} (angolo di gimbal)

D = 33 \text{cm}

L = 66 \text{cm}

t = 0.49 \text{cm}

\epsilon = 4
```

Le riflessioni dovute al radome determinano l'innalzamento dei lobi laterali

Misura della distribuzione di campo all'interno del radome *Esempio di misura dello sfasamento*

```
f = 16.5 \text{GHz}

\beta = 36^{\circ} (angolo di gimbal)

D = 33 \text{cm}

L = 66 \text{cm}

t = 0.49 \text{cm}

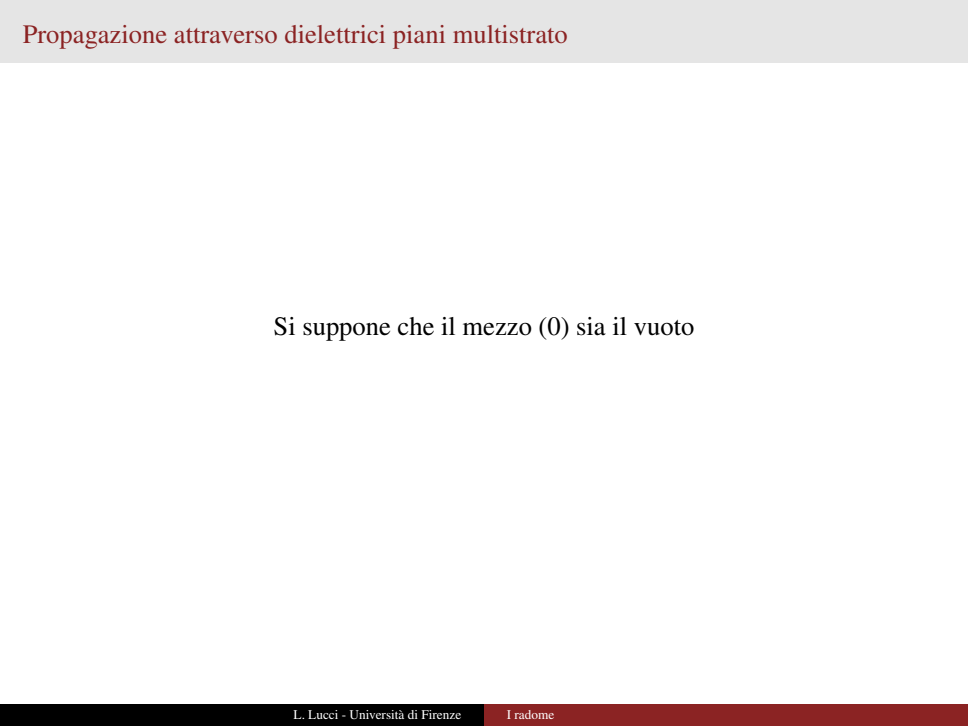
\epsilon = 4
```

La distorsione del fronte di fase determina l'errore di boresight Misura della distribuzione di campo all'interno del radome Esempio di compact range per la misura delle performance EM di un sistema di antenna con radome

> Naval Air Weapons Station Point Mugu (Scientific-Atlanta compact range 46m x 46m x 18m)

Propagazione attraverso dielettrici piani multistrato

- Propagazione di un'onda piana attraverso un dielettrico piano multistrato indefinito
- ► Si considera un modello a piastre piane (radome localmente piano)
- Valutazione dell'angolo di incidenza



$$n_i = \sqrt{\epsilon_{ri}}$$

indice di rifrazione del materiale (dielettrico)

Legge della rifrazione dell'ottica (Legge di Snell)

$$n_0 \sin \theta_0 = n_1 \sin \theta_1 = n_2 \sin \theta_2 = n_3 \sin \theta_3 = n_4 \sin \theta_4$$

Problema di base:singola interfaccia (onde riferite immediatamente a sx e a dx dell'interfaccia)

$$\begin{aligned} k_i^{\perp} &= k_i^{\parallel} = k_0 n_i \cos \theta_i \\ Z_i^{\perp} &= \frac{\zeta_i}{\cos \theta_i} & Z_i^{\parallel} &= \zeta_i \cos \theta_i \\ R_1^{\perp} &= \frac{B_1}{C_1}|_{B_2=0} &= \frac{Z_2^{\perp} - Z_1^{\perp}}{Z_2^{\perp} + Z_1^{\perp}} & R_1^{\parallel} &= \frac{B_1}{C_1}|_{B_2=0} &= \frac{Z_2^{\parallel} - Z_1^{\parallel}}{Z_2^{\parallel} + Z_1^{\parallel}} \\ T_1^{\perp} &= \frac{C_2}{C_1}|_{B_2=0} &= 1 + R_1^{\perp} & T_1^{\parallel} &= \frac{C_2}{C_1}|_{B_2=0} &= (1 + R_1^{\parallel}) \frac{\zeta_2}{\zeta_1} \end{aligned}$$

Per la polarizzazione perpendicolare

$$C_2 = C_1 T_1 + B_2 R_1'$$

$$B_1 = C_1 R_1 + B_2 T_1'$$

$$R_1' = -R_1$$

$$T_1' = 1 + R_1' = 1 - R_1$$

$$C_2 = C_1 T_1 + B_2 R_1'$$

$$B_1 = C_1 R_1 + B_2 T_1'$$

$$R_1' = -R_1$$

$$T_1' = (1 + R_1') \frac{\zeta_1}{\zeta_2} = (1 - R_1) \frac{\zeta_1}{\zeta_2}$$

Per entrambi le polarizzazioni vale dunque:

$$C_1 = \frac{1}{T_1}C_2 + \frac{R_1}{T_1}B_2$$

$$B_1 = \frac{R_1}{T_1} C_2 + \frac{1}{T_1} B_2$$

Ovvero in forma matriciale:

$$\left[\begin{array}{c}C_1\\B_1\end{array}\right] = \frac{1}{T_1}\left[\begin{array}{cc}1&R_1\\R_1&1\end{array}\right]\left[\begin{array}{c}C_2\\B_2\end{array}\right]$$

Cascata di problemi elementari (onde riferite immediatamente a sx di ciascuna interfaccia)

$$\begin{bmatrix} C_1 \\ B_1 \end{bmatrix} = \prod_{i=1}^{N} \frac{1}{T_1} \begin{bmatrix} e^{jk_i t_i} & R_i e^{-jk_i t_i} \\ R_i e^{jk_i t_i} & e^{-jk_i t_i} \end{bmatrix} \begin{bmatrix} C_{N+1} \\ B_{N+1} \end{bmatrix} = \begin{bmatrix} A_{11} & A_{12} \\ A_{21} & A_{22} \end{bmatrix} \begin{bmatrix} C_{N+1} \\ B_{N+1} \end{bmatrix}$$

Trasmissione attraverso una struttura A-sandwich *Polarizzazione perpendicolare*

Trasmissione attraverso una struttura A-sandwich *Polarizzazione parallela*

Tecniche di analisi *Ottica Geometrica*

Tecniche di analisi Ottica Geometrica in ricezione

Tecniche di analisi Ottica Geometrica in trasmissione

Tecniche di analisi *Altre tecniche*